

دراسة تأثير إضافة TiO_2/MgO على بعض الخصائص الميكانيكية والحرارية لأنابيب البولي فينيل كلوريد (PVC) المعرضة لأشعة الشمس

تاريخ الإيداع: 2022/11/11

تاريخ القبول: 2023/2/26



حقوق النشر: جامعة دمشق - سوريا،
يحتفظ المؤلفون بحقوق النشر بموجب

CC BY-NC-SA

الملخص:

في هذا البحث تم دراسة تأثير إضافة TiO_2/MgO على أنابيب البولي فينيل كلوريد (PVC) المعرضة لأشعة الشمس، حيث تم تصنيع عينات محملة بنسب مختلفة من هذه المواد وتعرضها لأشعة (UV) الموجودة في أشعة الشمس التي تسبب تحلل مادة (PVC) بواسطة جهاز تقادم يحوي بداخله أنابيب فلوريستن ، ومن ثم اجراء بعض الاختبارات الميكانيكية والحرارية (شد واستطالة، القساوة، الضغط الداخلي، الاوزان الساقطة، الارتداد الطولي (الاثر الحراري)، نقطة التلدن (نقطة فيكتات)) حيث اظهرت النتائج أن العينات التي تحوي على 2/2% TiO_2/MgO أبدت أفضل الخواص الميكانيكية وبالتالي هي مناسبة للتطبيقات المعرضة لأشعة الشمس والحرارة حتى 60.

الكلمات المفتاحية: أنابيب بولي فينيل كلوريد (PVC)، ثاني أكسيد التيتانيوم (TiO_2)، أوكسيد المغنيزيوم (MgO)، الأشعة فوق بنفسجية (UV).

Study of the effect of adding (TiO₂/MgO) on some mechanical and thermal properties of polyvinyl chloride (PVC) pipes exposed to sunlight

Muhammad Yunus Hijazi*¹ Mohamad Samir AlBarzawi²

*¹. Eng, Postgraduate Studies, Damascus University, specialization in Materials

Science and Engineering. mohamdhj@Damascusuniversity.edu.sy

². Dr, Assistant Professor in the Department of Mechanical Design Engineering, Damascus University, specializing in the strength of plastic materials.

MohamadAlBarzawi@Damascusuniversity.edu.sy

Received: 11/11/2022

Accepted: 26/2/2023



Copyright: Damascus University- Syria, The authors retain the copyright under a CC BY- NC-SA

Abstract:

In this research, the effect of adding (TiO₂/MgO) to polyvinyl chloride (PVC) pipes exposed to sunlight was studied. Samples loaded with different percentages of these materials were manufactured and exposed to (UV) rays presented in sunlight that cause the decomposition of (PVC) material. By means of an aging device containing fluorescent tubes inside, and then conducting some mechanical and thermal tests (tensile and elongation, hardness, internal pressure, falling weights, longitudinal rebound (thermal effect), plasticizing point (Vicat softening)), where the results showed that samples containing (TiO₂/MgO) 2/2% showed the best mechanical properties Thus it is suitable for applications exposed to sunlight and heat up to 60 °C.

Keywords: Polyvinyl chloride (PVC) pipes, titanium dioxide (TiO₂), Magnesium oxide (MgO), ultraviolet radiation (UV).

المقدمة:

المعدنية في معظم البوليمرات كمخلفات من محفزات البلمرة، أو المواد المضافة (مثبتات الحرارة ومضادات الأكسدة والملونات والمواد المالة وغيرها). تعمل أيونات المعادن على امتصاص الأشعة فوق البنفسجية بشكل كبير، وهي فعالة في نقل الطاقة الممتصة إلى جزيئات البوليمر من حولها، وبالتالي، فإنها تعمل على زيادة التحلل في نفس الوقت الذي تؤدي فيه وظائفها المرغوبة. يساهم الأكسجين في التحلل الضوئي للبوليمرات، والذي يساعد أي جذور حرة قد تحررها الأشعة فوق البنفسجية لبدء أكسدة البوليمر وانتشارها، وهذا ما يسمى بالأكسدة الضوئية. تعاني مادة (PVC) من ضعف في الاستقرار الحراري. يحدث التحلل عن طريق إزالة الكلور بشكل ذاتي في سلاسل البوليمر. هذا يؤدي إلى تلون شديد وفقدان الخواص الميكانيكية (Braun, 1981) [4]. عادة ما يتم إضافة المثبتات الحرارية غير العضوية والعضوية لحماية البوليمر من التحلل الحراري.

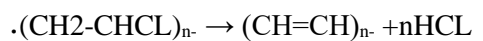
تعتبر مادة ثاني أكسيد التيتانيوم من أكثر المواد المقاومة للأشعة فوق البنفسجية. حيث تعمل هذه المادة على تقليل تغلى الأشعة فوق البنفسجية في سطح المادة التي تدخل في تركيبها.

كما تعتبر مادة أكسيد المغنيزيوم من المواد الهامة التي تعطي مادة (PVC) مقاومة صدم عالية وبالتالي قدرة أكبر على مقاومة الاحمال الخارجية والاصدمات اثناء النقل والتركيب وخلال فترة الاستثمار أيضاً.

1. الهدف من البحث:

من المعروف أن البوليمرات تتحلل تدريجياً تحت الضغط البيئي، حيث يتضح ذلك في التغيرات التي تطرأ على المظهر الخارجي بالإضافة إلى التغيرات في الخصائص الفيزيائية والميكانيكية. لذلك، تمت إضافة المثبتات والأصباغ إلى هذه المادة لحمايتها، حيث أصبح تطوير مواد مثبتة جديدة عالية الكفاءة توفر ثباتاً لتطبيقات مادة (PVC) موضوعاً مهماً لدى كثير من الباحثين (Hawkins, 2001) [5]، حيث تم إضافة مادة ثاني أكسيد التيتانيوم (TiO_2) والتي تعتبر من أكثر المواد المضافة أهمية بالنسبة لمادة

لا تزال مادة البولي فينيل كلوريد (PVC)، مادة لا غنى عنها في كثير من التطبيقات على الرغم من تطوير مجموعة متنوعة من مواد البوليمر في صناعة البلاستيك، كما أن طبيعة مادة (PVC) يجعلها متقدمة من حيث المثانة، والقابلية للتشكيل، والقدرة على مقاومة الحرائق مقارنة مع المواد البلاستيكية الأخرى. (Waller, Lindsborg (1991) [1]. بالإضافة إلى ذلك، يتم إظهار جودة تصميم مادة (PVC) من خلال القدرة على إنتاج مادة صلبة أو لدنة مع إمكانية إعادة التدوير، ويزيل ذلك من خلال القدرة على استخدامها في مجموعة واسعة جدًا من التطبيقات، مثل الأنابيب وبروفيلات النوافذ، نظراً لتكلفتها المنخفضة وكفاءتها الاقتصادية ومتانتها العالية (Hallas (1976) [2]. ومع ذلك توجد مشكلة رئيسية في التطبيقات المعرضة للعوامل الجوية وأشعة الشمس حيث يحدث تحلل في بنيتها عندما تبدأ التفاعلات التي ينتج عنها إزالة (HCL) وذلك وفق المعادلة التالية:



حيث يتغير لون المادة التي أساسها (PVC) من الأصفر إلى الأسود حسب درجات التحلل. بمجرد بدء التفاعل، تتعرض البوليمرات تدريجياً للتغيرات في الخواص الميكانيكية، الفيزيائية، الحرارية والكيميائية ويمكن أن تصل في النهاية التحلل والتفكك التام (Andreas (1984) [3]. من الناحية النظرية، يجب ألا تمتلك العديد من البوليمرات النية الأشعة فوق البنفسجية، وبالتالي لا تخضع للتحلل الضوئي. ومع ذلك، من الناحية العملية، تحتوي معظم البوليمرات على شوائب مثل مجموعات الكربونيل أو الكربوكسي أو الهيدروبوروكسيدات التي تمتلك الإشعاعات ذات الطول الموجي (290-400) نانومتر بسهولة مما يؤدي إلى تفككها. وبالتالي، يتم إنشاء موقع داخل بنية البوليمر حيث يمكن بدء التفاعلات الكيميائية ونشرها بواسطة الجذور الحرة. قد تكون المجموعات النشطة موجودة نتيجة للتفاعلات التي تحدث أثناء البلمرة. وبالمثل، توجد الأيونات

أن أكثر مثبتات الأشعة فوق البنفسجية فاعلية في هذا العمل هو (Tinuvin P).

5.2. قامت (Sihama I. Al-Shalchy) وأخرون [10] (2020) بتصنيع وتقييم الخصائص الميكانيكية لثلاثة أنواع من الخلطات والمركبات البوليمرية.

تم تحضير المجموعة الأولى من (بولي فينيل كلورايد: بولي بروبيلين (PVC: PP)) بنسب مختلفة من البولي بروبيلين (5-15%). أدت إضافة جزيئات (TiO_2) النانوية إلى تحسين الخواص الميكانيكية للمركبات المحضرة. أشار تحليل المورفولوجي إلى أن المركبات لها تكوين هيكل متجانس، نتيجة للكفاءة العالية لكل من جسيمات (TiO_2) النانوية و (EPDM).

تتضمن الدراسة الحالية تأثير نسبة إضافة مادة (TiO_2) إلى مادة (PVC) المستخدمة في صناعة الأنابيب من حيث الخصائص الميكانيكية والحرارية وذلك أثناء عملية التجوية المتسارعة باستخدام الأشعة فوق البنفسجية (UV).

2. المواد المستخدمة:

1.2. البحث (Materials) البولي فينيل كلورايد (PVC): عبارة عن مسحوق أبيض اللون كوري المنشأ صنع شركة SEUNGJIN ENTERPRISE الصيغة C_2H_3Cl الكثافة 0.98 g/cm^3 ، يوضح الشكل (1) رizin البولي فينيل كلورايد (PVC).



الشكل (1) رizin البولي فينيل كلورايد (PVC)

(PVC) المستخدمة في التطبيقات المعرضة لأشعة الشمس نظرًا لامتصاصها الممتاز للأشعة فوق البنفسجية. بالنسبة لمعظم التطبيقات، كما تم استخدام (MgO) لتحسين صلابة ومتانة منتجات (PVC). درس عدد من الباحثين نواتج التحلل وآليات الأكسدة الضوئية لإضافات (PVC) المدمجة

تحت ظروف التجوية المختلفة. من هذه الدراسات:

1.2. قام (A. J. Whittle [6] (2001) بتقييم قوة وصلابة أنابيب (PVC) المعدلة حيث تم استخدام أنابيب (PVC) بنجاح لغرض نقل المياه لسنوات عديدة. ودراسة تأثير مستويات إضافة مختلفة ومنخفضة نسبيًا لمادة مقاومة للصدم على صلابة وقوة أنابيب (PVC-M)، باستخدام مجموعة متنوعة من الاختبارات. أظهرت نتائج البحث ازدياد مقاومة الصدم لأنابيب (UPVC) بازدياد تركيز (CPE).

2.2. قام (Fethi Kami [7] (2005) بدراسة قابلية استخدام أكسيد المغنيزيوم مع ثاني أكسيد التيتانيوم في أبواب ونوافذ (PVC) حيث تم فحصها من حيث تغير اللون أو البهتان وبعض الخصائص الميكانيكية. لكل مركب مرتبط بكمية مختلفة من (MgO) و (TiO_2)، أظهرت النتائج أن إضافة المغنيسيوم يقلل الأكسيد الموجود في المركبات وبالتالي يزيد من صلابة المادة.

3.2. قام (Tamer Karayildirim [8] (2006) بدراسة تأثير بعض المواد المائة على تحلل مادة (PVC) وهي الطين الأحمر (RM) وكربونات الكالسيوم والدولوميت (dolomite) حيث قام بإجراء اختبار التحلل الوزن الحراري حيث أظهرت النتائج فاعلية (RM) كمادة مضافة بنسبة (15) phr تليها مادة كربونات الكالسيوم.

4.2. قام (K.Chaochanchaikul [9] (2011) بدراسة استقرار الهياكل الجزيئية والخواص الميكانيكية لمركبات (PVC) والخشب بواسطة مثبتات (Tinuvin) و (TiO_2) حيث قام بمقارنة فاعلية هذه المثبتات للأشعة فوق البنفسجية من خلال تقييم التغيرات في الخواص الهيكيلية والميكانيكية لعينات (PVC) و (WPVC) أثناء التجوية بالأشعة فوق البنفسجية نتيجة لزيادة محتويات كل مثبت. أظهرت نتائج الاختبارات

حجازي، البرزاوي

دراسة تأثير إضافة TiO_2 / MgO على بعض الخصائص الميكانيكية والحرارية.....



الشكل (4) كربونات الكالسيوم $CaCO_3$

5.2. مادة مثبتة : KN 500 stabilizer

عبارة عن مسحوق أبيض كوري المنشأ، الشركة المصنعة (DANSUK)، النوع 500 KN الموضح في الشكل (5) مناسب لصناعة أنابيب (PVC) .



الشكل (5) مادة مثبتة (stabilizer)

6.2. حمض الشمع : (Stearic Acid)

ماليزي المنشأ، الشركة المصنعة (KLK OLEO) ذو مظهر حبيبي اللون كما هو موضح في الشكل (6).

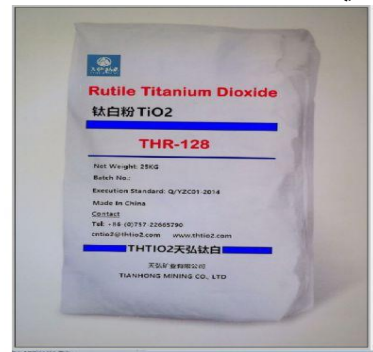


الشكل (6) حمض الشمع (Stearic Acid)

2.2. ثاني أكسيد التيتانيوم (TiO_2) :

عبارة عن مسحوق أبيض كوري المنشأ صنع شركة (JAEGOO ENPLA) ، كثافته g/cm^3 (4.23).

الشكل (2) ثاني أكسيد التيتانيوم (TiO_2) .



الشكل (2) ثاني أكسيد التيتانيوم (TiO_2)

3.2. أكسيد المغنتيوم (MgO) :

عبارة عن مادة صلبة بلورية بيضاء غير عضوية، المنشأ مصر، صنع شركة الوطني، الكثافة g/cm^2 (3.581) يوضح

الشكل (3) أوكسيد المغنتيوم (MgO) .



الشكل (3) أوكسيد المغنتيوم (MgO)

4.2. كربونات الكالسيوم ($CaCO_3$) :

مسحوق أبيض ناعم، البلد المنشأ سوريا، الشركة المصنعة (الثجاج للصناعات الكيميائية)، الكثافة g/cm^3 (2,711) .

يوضح الشكل (4) كربونات الكالسيوم ($CaCO_3$) .

10.2. مادة مساعدة (Processing aid)

يتم إضافته كمادة مساعدة أثناء عملية المعالجة، عبارة عن مسحوق أبيض كما هو موضح بالشكل (10)، كوري المنشأ، الشركة المصنعة (LG.Chem).



الشكل (10) المادة المساعدة لعملية التصنيع (Processing aid)

3. تحضير العينات:

تم تحضير العينات الموضحة في الشكل (11) بقطر (75) mm (سماكة 3mm) وفق المواصفة الألمانية DIN 8062P (ASTM D-17855) و المواصفة (Z. F. U. S. Co) ذات منشأ صيني، الشركة المصنعة (Formul), والموضحة بالشكل (12).



الشكل (11) إنتاج شركة Formul



الشكل (12) آلة إنتاج أنابيب (PVC)

7.2. شمع البارافين (paraffin wax)

صيني المنشأ الشركة الصناعية Beijing Dongke United Technologies (الكثافة 0,9 g/cm³). يوضح الشكل (7) شمع البارافين المستخدم.



الشكل (7) شمع البارافين (paraffin wax)

8.2. الملين (Plasticizer)

من الملينات زيت ثائي أوكتيل فتالات (DioctylPhthalate) المعروف (DOP) صيني المنشأ صنع شركة (ZhengzhouSan Techchem) موضح في الشكل (8) كثافته عند 0,988 g/cm³.



الشكل (8) زيت DOP

9.2. الكربون الاسود (هباب الفحم) :N550

عبارة عن مسحوق أسود كما هو موضح في الشكل (9) يستخدم كصبغة لإعطاء المنتج اللون الرمادي، أوكراني المنشأ، الشركة المصنعة (Jsc S. C. B.C.P).



Carbon Black N550

الشكل (9) هباب الفحم (الكربون الاسود)



الشكل (14) جهاز التقادم

حيث تم وضع العينات والتي يبلغ عددها 19 عينة بطول متر تقريباً لكل عينة ضمن الجهاز لمدة (30) يوم أي ما يعادل 28 سنة في الظروف الطبيعية حيث تتعرض العينات إلى أشعة (UV) باستخدام أنابيب فلوريسنت والتي تصدر أشعة (UV) ذات طول موجي (270-313) نانو متر بالإضافة إلى تيار من الهواء وبخار الماء.

قبل عملية الانتاج تم خلط المواد بالنسبة المحددة في الجدول (1) بواسطة خلاط خاص ذو منشأ صيني، الشركة المصنعة (Z. F. U. S. Co) والموضح في الشكل (13).



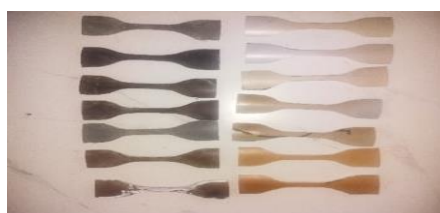
الشكل (13) الخلط (مازج المواد الاولية)

4. تعریض العینات لأشعة فوق بنفسجیة (UV)

تم تعریض العینات التي تم انتاجها بنسب مختلفة من المواد المضافة الى أشعة (UV) بواسطة جهاز التقادم (ageing) أو ما يعرف التجوية المسرعة الموضحة بالشكل (14) ذو منشأ صيني، الشركة المصنعة (GAOGE) وفق المواصفة (ASTM D4329-99).

الجدول (1) نسب المواد المضافة في كل خلطة مع إضافة مادة (TiO_2) .					
رقم العينة	0	1	2	3	4
(PVC-K67)	100	100	100	100	100
(Stabilizer)	3	3	3	3	3
(Steric acid)	0.4	0.4	0.4	0.4	0.4
(PE wax)	0.3	0.3	0.3	0.3	0.3
(Processing aid)	0.5	0.5	0.5	0.5	0.5
(Ca Co ₃)	15	15	15	15	15
هباب الفحم	0.015	0.015	0.015	0.015	0.015
(MgO/TiO ₂)	0/0	1/1	2/2	3/3	4/4

وتحديد قيمة اجهاد الشد والاستطالة الناتجة لكل عينة.



الشكل (15) عینات الشد المقاطعة من الانابيب

5. الطرائق التجريبية (Experiments)

5.1.1.5. القياسات الميكانيكية (Mechanical measurement)

5.1.1.5.1. اختبار الشد (Tensile Test)

تم تحضير عینات الشد الموضحة في الشكل (15) وفق المواصفة (ASTMD-412) والتي تحدد أبعاد العينة كما هو موضح في الشكل (16)، تم تطبيق التجربة بسرعة شد (5

صance شركه (Zwick) الالمانيه Hardness Tester الموضح في الشكل (19)، أبعاد عينة الاختبار (40*40*3) mm الموضحة في الشكل (20)، يظهر جهاز الاختبار قيمة القساوة الناتجة عن غرز إبرة معيارية في اختبار القساوة.



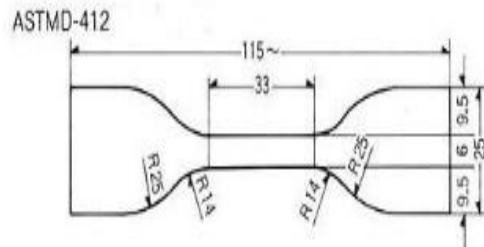
الشكل (19) جهاز اختبار القساوة



الشكل (20) عينات اختبار القساوة

4.1.5 اختبار الضغط الداخلي (Internal pressure test)

يهدف هذا الاختبار الى معرفة مدى تحمل الانبوب للإجهادات الناتجة عن الضغط الداخلي في درجات حرارة مختلفة خلال فترات زمنية مختلفة وفقاً للمواصفة (T8252 ISO1167)، تم استخدام جهاز الضغط الداخلي نوع (JINHAIHU) ذو منشأ صيني، حيث يوضح الشكل (21) جهاز الضغط وكما يوضح الشكل (22) عينة الضغط.



الشكل (16) أبعاد عينة الشد وفق المعاصفة (ASTM D-412) تم اجراء اختبار الشد والاستطالة باستخدام جهاز إنكليزي الصنع من شركة (Test-114) الموضح في الشكل (17).



الشكل (17) جهاز اختبار الشد

5.2.1.5 اختبار الصدم (الاوزان الساقطة)

الغرض منه التأكيد من قدرة تحمل الانبوب لصدمه من كتلة محدده ساقطة من ارتفاع محدد باستخدام جهاز اختبار الصدم (الاوزان الساقطة) صيني المنشأ الموضح في الشكل (18)، حيث تم اجراء الاختبار وفق المعاصفة (ISO 9854: 2010)



الشكل (18) جهاز الصدم (الاوزان الساقطة)

5.3.1.5 اختبار القساوة (Hardness Test)

تم اجراء اختبار القساوة وفقاً للمواصفة (DIN-53505) عند درجة حرارة الغرفة، وذلك باستعمال جهاز Digital Shore

خطوات اختبار الآثر الحراري:

- تمأخذ عينة من الانابيب المنتجة (20)Cm

- تم وضع علامتين عرضيتين متوازيتين على العينة بحيث تكون المسافة بين العلامتين (10)Cm وذلك بقلم رفيع على أربعة مناطق على مدى قطر الانبوب.

تم وضع العينة بالفرن الحراري عند درجة حرارة $150^{\circ}C$ (150) درجة مئوية وتترك العينة بالفرن لمدة (60) دقيقة كما هو محدد في المعاصفة.

2.2.5. اختبار درجة حرارة التلدين (نقطة فيكت)

: (VICAT Softening)

تم اجراء الاختبار وفق المعاصفة (ASTM D 1525) باستخدام جهاز من انتاج شركة (HV- ualitest) نوع (3000) والموضح في الشكل (24)، حيث تم اعتماد حمولة (10) وارتفاع تدريجي للحرارة بمعدل $0^{\circ}C/h$ (120).

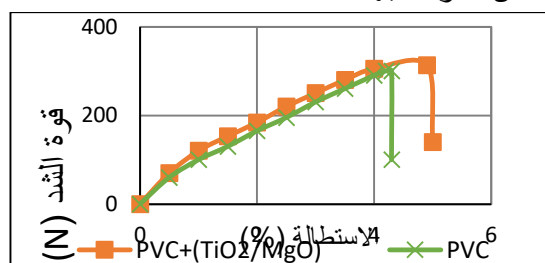
6. نتائج الاختبارات ومناقشتها

: (Test results and discussion)

1.6. نتائج الخواص الميكانيكية (Mechanical properties):

1.1.6. نتائج اختبار الشد والاستطالة: خواص الشد (tensile strength):

يوضح الشكل (24) نموذج لمخطط الشد والاستطالة لعينة (PVC) دون اضافة وعينات محملة بمادتي (TiO_2/MgO) حيث تتأثر قوة الشد لمادة (PVC) المعرضة لأشعة الشمس وذلك تبعاً لتغلغل الاشعة فوق البنفسجية (UV) الناتجة عن أشعة الشمس في البنية الداخلية فعند ارتفاع عمق التغلغل تتنقص مقاومة اجهاد الشد.



الشكل (24) مخطط الشد والاستطالة لعينة من مادة (PVC) محملة (TiO₂/MgO)



الشكل (21) جهاز اختبار الضغط



الشكل (22) عينة اختبار الضغط الداخلي

تم تطبيق ضغط داخلي (par) (35) لمدة ساعة كاملة عند درجة حرارة $0^{\circ}C$ (60) وفقاً للمعاصفة المستخدمة في هذا الاختبار.

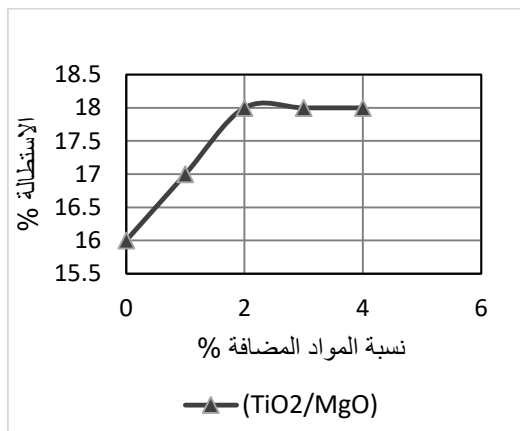
5.2. اختبارات حرارية:

1.2.5. اختبار الارتداد الطولي (الآثار الحراري):

الغرض من هذا الاختبار معرفة تغير طول العينة بعد تعرضها للحرارة. بحيث لا تزيد النسبة المئوية للتغير في طول العينة على (5%). ويجب ألا تظهر أي تشغقات أو أي فجوات أو أي تشوهات على الانبوب حيث تم في هذا الاختبار وفق المعاصفة القياسية السورية (465) باستخدام فرن حراري نوع (Dipl.Lng.W.Ehret GmbH) الموضح في الشكل (23).



الشكل (23) الفرن الحراري



الشكل (26) العلاقة بين الاستطالة ونسبة إضافة $(\text{TiO}_2/\text{MgO})$ إلى مادة (PVC)

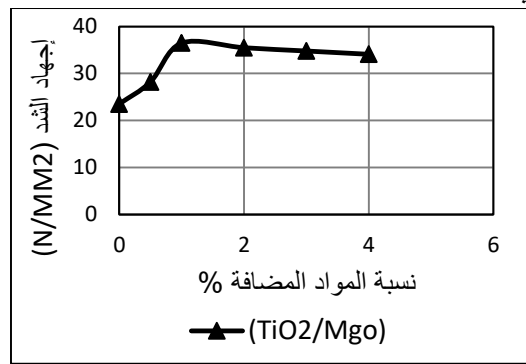
يلاحظ من الشكل بأن الاستطالة تزداد بشكل تدريجي بسيط مع ازدياد نسبة مادة $(\text{TiO}_2/\text{MgO})$ حتى نسبة إضافة 4% (0-4%) ويعود ذلك إلى نقص مقاومة هذه المواد لتأثير الأشعة فوق البنفسجية (UV) والتي تعمل على تفكك الروابط العرضية للبوليمر، بالإضافة إلى تشكيل الجذور الحرة.

2.1.6 نتائج اختبار الأوزان الساقطة (الصدم):

أظهرت نتائج الصدم تقاويم قدرة العينات على تحمل الصدمات وذلك على النحو التالي:

عند إضافة $(\text{TiO}_2/\text{MgO})$ بنسب مختلفة، أظهرت العينات التي تحوي على 2% (3%) أكثر مقاومة للصدمات، حيث تحطمت العينات بعد الصدمة الرابعة، ويعود سبب ذلك إلى تكثيل جزيئات (TiO_2) لتحدث انقطاع في السلسلة البوليمرية في العينات حيث يوضح الشكل (27) التكثفات مع جزيئات (TiO_2) المتكتلة وهذا ما يتوافق مع ما ذكر في المرجع (Elgharbawy 2022) [11]. عند إضافة (MgO) كانت قدرتها على تحمل الصدمات أخفض بسب اكتساب

كما يوضح الشكل (25) تغير قيمة اجهاد الشد عند الانقطاع بتغيير نسبة إضافة $(\text{TiO}_2/\text{MgO})$ على النحو التالي:



الشكل (25) العلاقة بين نسبة إضافة كل من $(\text{TiO}_2/\text{MgO})$ واجهاد الشد عند الانقطاع

- عند النسبة % (0)، كانت أخفض قيمة لمقاومة الشد ويعود ذلك لقوة تأثير الأشعة فوق البنفسجية وتغلغلها بشكل كبير حيث تتشكل الجذور الحرة بشكل أكبر ولمسافة أعمق داخل السطح مما يؤدي إلى انقطاع في السلسل العملاقة للبوليمر وبالتالي تراجع في الخصائص الميكانيكية.

- عند النسبة % (1/1) فإن مقاومة الشد تزداد بشكل أكبر ويعود ذلك إلى الدور الأكبر الذي تقوم به جزيئات (TiO_2) بالإضافة إلى دور (MgO) في زيادة المثانة.

- عند نسبة إضافة % (2/2) من مادة $(\text{TiO}_2/\text{MgO})$ تبدأ مقاومة الشد بالانخفاض بشكل تدريجي ويعود ذلك إلى تشكيل كتل من (TiO_2) تسبب انقطاع في السلسل العملاقة للبوليمر وبالتالي تراجع في الخصائص الميكانيكية بالإضافة إلى ثبات الدور الذي تؤديه مادة (MgO) .

نتائج اختبار الاستطالة عند الانقطاع (Elongation at break):

يوضح الشكل (26) العلاقة بين الاستطالة عند الانقطاع ونسبة إضافة $(\text{TiO}_2/\text{MgO})$

يلاحظ من الشكل ازدياد قساوة العينات بشكل متفاوت مع ازدياد نسبة اضافة كل من $(\text{TiO}_2/\text{MgO})$ حيث تقوم مادة (TiO_2) بمنع تغلل أشعة (UV) وبالتالي تقليل تفكك الروابط العرضية لسلسل البوليمرات. كما تؤدي اضافة مادة (MgO) الى زيادة الوزن الجزيئي وبالتالي زيادة في القساوة.

4.1.6. نتائج اختبار الضغط الداخلي:

بعد أن تم تطبيق الضغط الداخلي على عينات من مادة $(\text{TiO}_2/\text{MgO})$ محملة بنسب مختلفة من مادة (PVC) من ولمدة ساعة كاملة عند درجة حرارة 60°C حيث ظهرت شقوق وشروخ وانقاحات بسبب اكتساب العينات صفة الشاشة بعد تعريضها لأشعة (UV) عدا العينة المحملة بنسبة $(2/2\%)$ ، حيث يوضح الشكل (29) أحد هذه العينات.

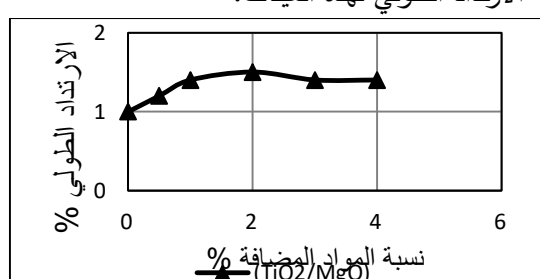


الشكل (29) أحد العينات المتشققة نتيجة اختبار الضغط الداخلي

2.6. نتائج القياسات الحرارية (Thermal measurement results)

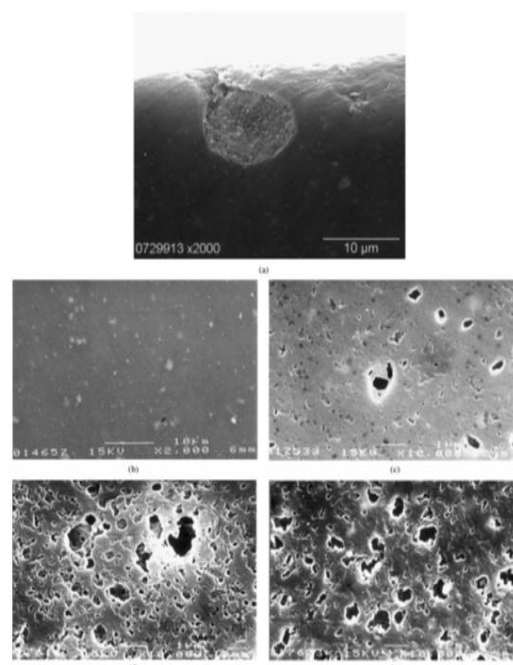
1.2.6. نتائج اختبار الاثر الحراري:

يوضح الشكل (30) مقدار الارتداد الطولي الناتج عن الاثر الحراري الذي تعرضت له عينات (PVC) المحملة بنسب مختلفة من $(\text{TiO}_2/\text{MgO})$ حيث أظهرت النتائج تفاوتاً في نسبة الارتداد الطولي لهذه العينات.



الشكل (30) الارتداد الطولي عينات (PVC) المحملة بنسب مختلفة بالمواد (TiO₂/MgO)

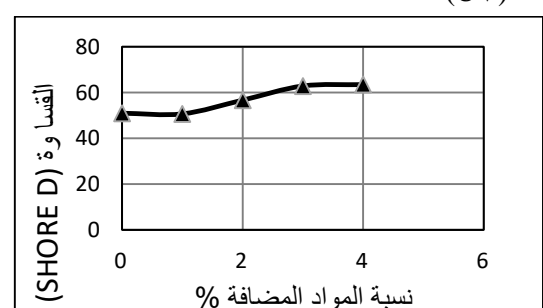
العينات صفة الهشاشة.



الشكل (27) يوضح ازدياد تكتلات (TiO_2) مع ازدياد نسبة الاضافة إلى مادة (PVC)

3.1.6. نتائج اختبار القساوة:

تعتبر القساوة من الخصائص الميكانيكية الهامة والتي تمكّن المادة من الحفاظ على سطحها متمسكاً تحت تأثير الاحمال الخارجية، حيث تتأثر هذه الخاصية في مادة (PVC) بعدة عوامل أهمها المواد المضافة ونسبة أضافتها ومن أهم هذه المواد الملينات (plasticizer) التي تتأثر بأشعة الشمس على المدى البعيد وتتحفظ نسبتها في المادة مما يؤدي إلى ازدياد صفة الهشاشة. يوضح الشكل (28) القساوة لعينات (PVC) محملة بنسب مختلفة من $(\text{TiO}_2/\text{MgO})$ والمعرضة لأشعة (UV):



الشكل (28) القساوة لعينات (PVC) محملة بنسب مختلفة من (UV)، والمعرضة لأشعة (TiO₂/MgO)

3- تزداد مقاومة الصدم (الاوزان الساقطة) عند تحميل مادة TiO_2/MgO بمادة PVC عند النسب (2/2)%, (3/3)%.

4- العينات التي تحوي على (2/2)% من مادتي TiO_2/MgO أكثر قدرة على مقاومة الضغط الهيدروستاتيكي الداخلي من العينات التي تحوي على MgO فقط. حيث تزداد القدرة على مقاومة الضغط MgO بمادتي TiO_2/MgO حتى نسبة تحميل العينات (2/2)% ومن ثم تبدأ بالتناقص.

5- تزداد قيمة الارتداد الطولي لعينات PVC مع زيادة نسبة اضافة مادتي TiO_2/MgO حتى (2/2)% ومن ثم تبدأ بالانخفاض حتى نسبة اضافة (4/4)%.

6- تنخفض درجة حرارة التلدين (نقطة فيكت) عند التحميل بمادة TiO_2/MgO حتى نسبة تحميل (2/2)% و (3/3)% ومن تزداد مع ازدياد درجة حرارة التحميل.

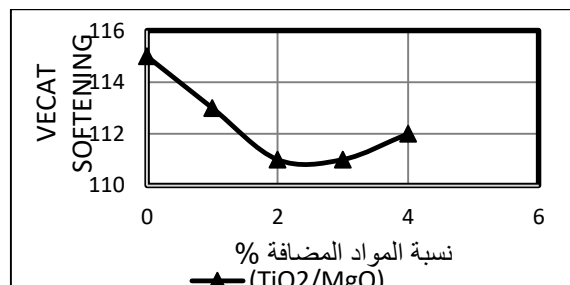
7- يلعب كلاً من زمن ودرجة حرارة المزج في الخليط قبل الدخول الى حجرة التلدين والبثق دوراً كبير في توزع المواد المضافة وتجانسها.

التمويل: هذا البحث ممول من جامعة دمشق وفق رقم التمويل (501100020595).

العينات التي تحوي على مادة TiO_2/MgO بنسبة (2/2)% كان الارتداد الطولي الناتج عن الاثر الحراري هو الاكبر حيث بلغت نسبة الارتداد الطولي (1.5)%. ويعود السبب في ذلك الى أن العينات عند هذه النسب قاومت تغلل أشعة (UV) ، وعند وضع هذه العينات في فرن اختبار الاثر الحراري كان لهذه العينات النصيب الاكبر من الخسارة في البنية (خسارة المواد المضافة ، تحلل البنية).

2.2.6. نتائج اختبار درجة حرارة التلدين (نقطة فيكت) (VICAT Softening)

يوضح الشكل (31) قيمة نقطة فيكت لعينات PVC محملة بنسب مختلفة من بمادة TiO_2/MgO فقد بلغت أعلى قيمة درجة حرارة التلدين (113) عند نسبة تحميل (1/1)%، وببلغت اخفض قيمة (111) عند نسبة تحميل (2/2)%. و (3/3)% ويعود سبب ذلك الى وجود مادة TiO_2 التي تعمل على تقليل تغلل أشعة (UV) وبالتالي التقليل من خسارة المواد الملائنة.



الشكل (31) تأثير المواد TiO_2/MgO على درجة حرارة تلدين مادة PVC المعرضة لأشعة (UV)

7. الاستنتاجات:

1- عند إضافة TiO_2/MgO تزداد مقاومة الشد حتى نسبة (1/1)% ومن ثم تبدأ بالانخفاض التدريجي حتى نسبة اضافة (4/4)%. كما تزداد الاستطالة حتى النسبة (2/2)% ومن ثم ثبات مع انخفاض طفيف عند زيادة نسبة اضافة TiO_2/MgO .

2- تزداد خاصية القساوة لمادة PVC بعد التعرض لأشعة (UV) مع ازدياد نسبة المواد TiO_2/MgO .

[6] A. J. Whittle (2001) "Assessment of strength and toughness of modified PVC pipes" *Plastics, Rubber and Composites* 2001 Vol. 30 No. 9.

[7] Fethi Kami "A study on usability of magnesium oxide with titanium dioxide in PVC door and window profiles" *Journal of Materials Processing Technology* 159 (2005) 40–47.

[8] Tamer Karayildirim" The effect of some fillers on PVC degradation" *J. Anal. Appl. Pyrolysis* 75 (2006) 112–119.

[9] K Chaochanchaikul, N Sombatsompop "Stabilizations of Molecular Structures and Mechanical Properties of PVC and Wood/PVC Composites by Tinuvin and TiO₂ Stabilizer" *POLYM. ENG. SCI.*, 51:1354–1365, 2011.

[10] Sihama I. Al-Shalchy "Mechanical Properties of Polyvinyl Chloride and Polypropylene Hybrid Polymeric Nanocomposites for Structural Applications " (2020) *International Journal of Nanoelectronics and Materials*(249-262).

[11] Abdallah S. Elgharbawy "Poly Vinyl Chloride Additives and Applications – A Review " *Journal of Risk Analysis and Crisis Response*, 2022, 12(3), 143-151.

(REFERENCES):

[1] J.M. Waller, K. Lindsborg UV Light Stabilized Polyvinyl Chloride Composition" US Patent 5,030,676 (1991).

[2] R.H. Hallas" Additives for plastics-UV stabilizers" *Plast. Eng.* 32 (1976) 15–19.

[3] H. Andreas" PVC stabilizers" in: R. Gachter, H. Muller (Eds.), *Plastics Additives Handbook*, Hanser Publisher, New York, 1984, p. 193.

[4] D. Braun" Thermal degradation of polyvinyl chloride" in: N.Grassie Ed.), *Development in Polymer Degradation*, vol. 3, Applied Science Publishers, London, 1981, p. 101.

[5] W.L. Hawkins" Polymer Stabilization, Wiley/Interscience" New York, 1972, p. 131.